

УДК 517.5

ПОДГОТОВКА РЕЗУЛЬТАТОВ НЕПРЕРЫВНОГО ВЕЙВЛЕТ-ПРЕОБРАЗОВАНИЯ К АВТОМАТИЗИРОВАННОЙ ОБРАБОТКЕ

А.С. Фадеев, Е.А. Кочегурова

Томский политехнический университет

E-mail: fas@aics.ru

Выявлены недостатки непрерывного вейвлет-преобразования не позволяющие производить их автоматизированную обработку при решении задачи классификации частотных составляющих сигнала. Предложен эвристический алгоритм, повышающий информативность карт проекций изолиний вейвлет-преобразования. Показана возможность использования алгоритма для подготовки информации к дальнейшей автоматизированной обработке.

Задача исследования сигналов, в том числе, сигналов звукового диапазона — одна из самых популярных прикладных задач. Часто требуется анализ сигнала в различных представлениях: амплитудно-временном, амплитудно-частотном или частотно-временном. Большое количество программно и аппаратно реализованных математических алгоритмов позволяет адекватно переходить от одной формы представления сигнала к другой. Зачастую удобные для визуального анализа формы представления сигнала крайне сложны для автоматизированной обработки и анализа.

Так, относительно новый математический аппарат непрерывного вейвлет-преобразования (НВП) обладает хорошей графической интерпретацией результатов, позволяя перейти от амплитудно-временного представления сигнала к амплитудно-частотно-временному.

Основой НВП является операция свертки сигнала $f(t)$ с вейвлетом из семейства вейвлет-функций вида $w_{s,\tau}(t) = \frac{1}{\sqrt{s}} w\left(\frac{t-\tau}{s}\right)$. Семейство вейвлет-функций $w_{s,\tau}(t)$ получают на основании материнского вейвлета $w(t)$ масштабированием его параметром s и сдвигом на величину τ . Варьируя параметрами масштабирования s и смещения τ , достигают необходимой локализации как в частотной, так и во временной областях соответственно. Вид функции материнского вейвлета влияет на выявление определенных свойств сигнала. НВП $Wf(\tau, s)$ определяется формулой [1]:

$$Wf(\tau, s) = \langle f, w_{s,\tau} \rangle = \int_{-\infty}^{\infty} f(t) w_{s,\tau}(t) dt.$$

Результатом НВП является двумерный массив чисел $Wf(\tau, s)$ характеризующий амплитудно-частотно-временные свойства сигнала. Значение числа в каждом элементе массива соответствует амплитуде определенной гармоники исследуемого сигнала в различные моменты времени.

На рис. 1 приведен фрагмент типичного графического представления НВП синусоидального сигнала в трехмерном пространстве время-частота-амплитуда и карты проекций изолиний. Градации цвета от черного к белому соответствуют изменениям амплитуды от минимальных до максимальных значений соответственно.

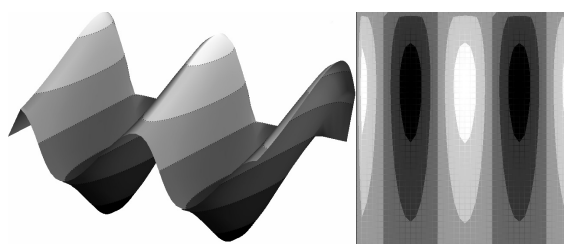


Рис. 1. Графические представления результатов непрерывного вейвлет-преобразования: слева — трехмерная модель поверхности; справа — карта проекций изолиний

Визуальный анализ результатов НВП применяется во многих прикладных и инженерных задачах (медицина, метеорология, оптика, и др.) [2]. Но в некоторых задачах исследования сигналов звукового диапазона дальнейшая автоматизированная обработка результатов НВП, например, с применением искусственных нейронных сетей (ИНС) крайне затруднена. Это обусловлено наличием чередования положительных и отрицательных значений в массиве $Wf(\tau, s)$ вдоль временной оси. Визуально это соответствует чередованию светлых и темных полос, (рис. 2) хотя, во многих случаях, темные полосы — это неинформативная часть представления.

В данной работе предлагается ряд алгоритмов преобразований результатов НВП, позволяющих устранить указанный недостаток и, таким образом, подготовить их для автоматизированной обработки ИНС.

Как известно [3], по результату операции свертки можно судить о степени схожести двух функций. Свойства одной из них (вейвлет-функции), как правило, известны, и она является базисной. Операция свертки является сутью НВП и определяет основные его свойства.

Рассмотрим частные случаи операции свертки вейвлет-функций $w_{s,\tau}(t)$ с сигналом $f(t)$.

1. Совпадение вейвлета с фрагментом функции.

Параметры сдвига τ и масштабирования s вейвлет-функции таковы, что периоды колебаний вейвлета T совпадают с периодами функции $f(t)$ (рис. 3 и 4).

В такие моменты операция свертки функций дает положительное число. Причем абсолютное значение этого числа будет тем больше, чем более точно совпадает исходный сигнал с вейвлет-функцией.

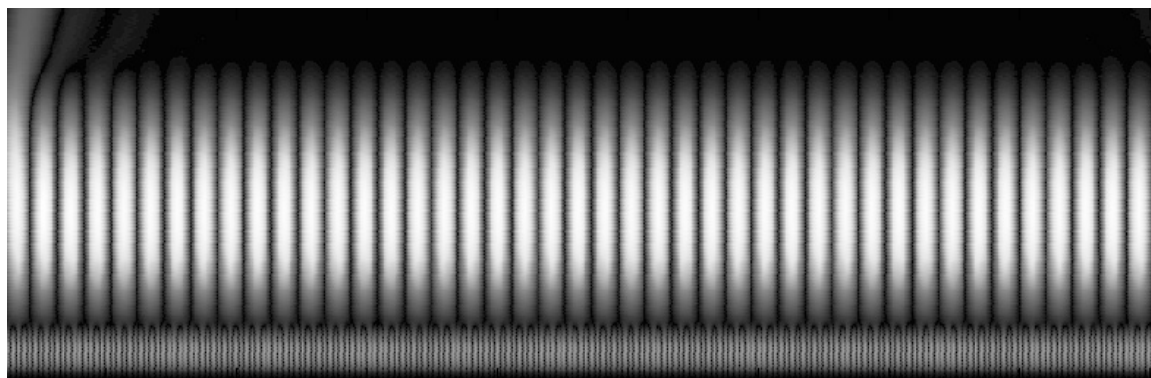


Рис. 2. Результат НВП сигнала вида $f(t)=a_1\sin(\omega_1t)+a_2\sin(\omega_2t)$

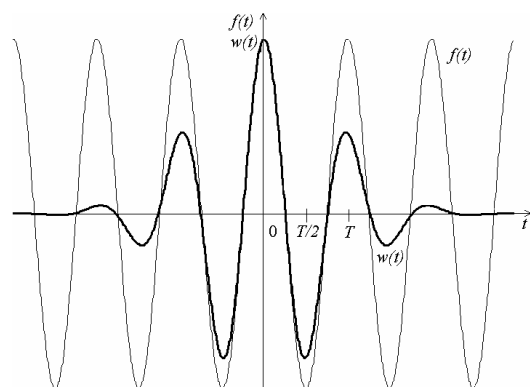


Рис. 3. Функции вейвлета $w(t)$ и сигнала $f(t)$

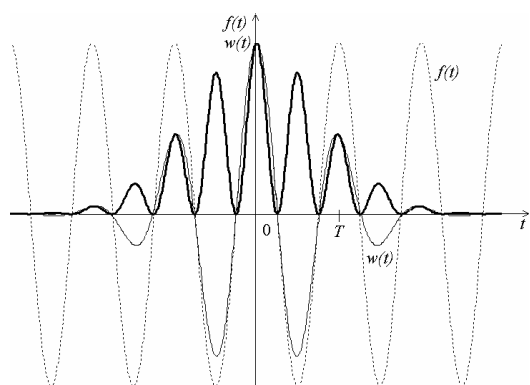


Рис. 4. Скалярное произведение $f(t)$ и $w(t)$

2. Совпадение инверсии вейвлета с фрагментом функции.

Функции вейвлета $w(t)$ и сигнала $f(t)$ в каждый момент времени имеют противоположные знаки, и скалярное произведение $w(t)$ и $f(t)$ целиком лежит в полуплоскости отрицательных значений (рис. 5 и 6).

В такие моменты результатом операции свертки функций $f(t)$ и $w(t)$ является отрицательное число. Причем, абсолютное значение этого числа будет тем больше, чем более точно совпадает исходный сигнал с инверсией вейвлет-функции.

3. Несовпадение вейвлета с фрагментом функции.

Функции вейвлета $w(t)$ и сигнала $f(t)$ либо сдвинуты относительно друг друга на $1/4$ периода (в случае совпадения периода сигнала с периодом коле-

баний вейвлета), либо настолько различны, что результатом операции свертки функций $f(t)$ и $w(t)$ является значение близкое к нулю.

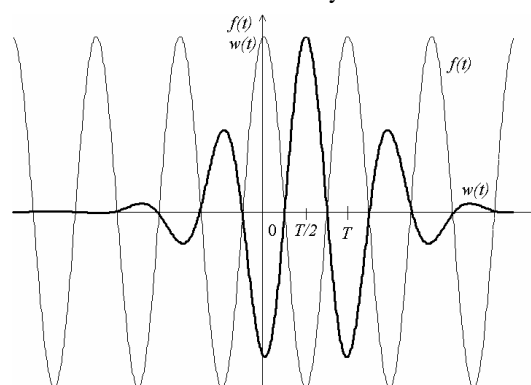


Рис. 5. Функции вейвлета $w(t)$ и сигнала $f(t)$, при $\tau=T/2$

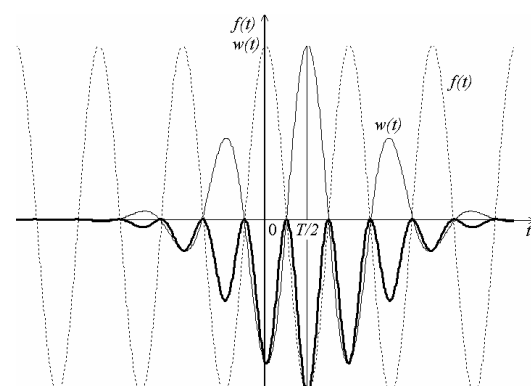


Рис. 6. Скалярное произведение $f(t)$ и $w(t)$, при $\tau=T/2$

Для решения задачи идентификации частотных составляющих сигнала [6], когда целью является выявление сигнала определенной формы и его амплитуды, значение фазы в пределах одного периода T не играют существенной роли. Поэтому, в качестве результатов НВП можно использовать абсолютные значения НВП (рис. 7).

В таком случае, более светлые области на графических представлениях результатов НВП будут соответствовать большим значениям амплитуды сигнала $f(t)$. Наиболее темные области свидетельствуют либо об отсутствии в сигнале фрагментов, схожих с вейвлет-функцией, либо о моментах, ког-

да значение сдвига τ кратно четверти периода сигнала. Например, в случае НВП гармонического сигнала вида $f(t) = a_0 \sin(\omega_0 t)$ светлые области соответствуют экстремумам функции, а черные – переходам функции через ноль.

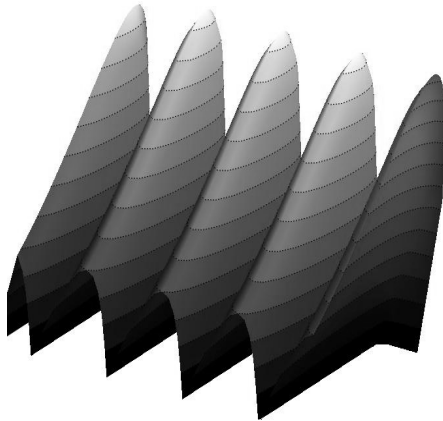


Рис. 7. Графические представления абсолютных значений НВП

Для большинства сигналов звукового диапазона, к которым относится и музыкальная информация [7], продолжительность звучания отдельных звуковых составляющих (нот) значительно больше периода их основной гармоники T . Поэтому во временном и частотном интервалах звучания одной ноты сигнал можно рассматривать как локально-стационарный.

На срезе карты проекций изолиний по значению параметра s_0 , соответствующего частоте основной гармоники сигнала ω_0 видно, что интервалы между пиками (всплесками), возникающими вдоль оси времени, соответствуют половине периода основной гармоники этих составляющих: $t_{i+1} - t_i = T/2$ и $t_{i+2} - t_i = T$, где $T = 1/\omega_0$ (рис. 8).

В связи с тем, что наличие последовательности пиков на узком интервале времени говорит о наличии непрерывного локально-стационарного сигнала, то можно увеличить информативность результатов НВП. Для этого необходимо выполнить сглаживание, не потеряв информацию о наличии и ам-

плитуде самого сигнала. Суть такого сглаживания заключается в формировании огибающей по экстремумам всплесков, интервал возникновения которых соответствует рабочей частоте ω и значению параметра s . При изменении амплитуды сигнала во времени значения пиков на карте проекций изолиний будут изменяться пропорционально интенсивности всплесков каждого полупериода сигнала.

Для формирования огибающей реализуем алгоритм, который для рабочей частоты ω и значения параметра s в каждый момент времени t_j вычисляет формулу секущей $F(t)$ и накладывает ее на график колебаний амплитуд $A(t)$ в пределах одного полупериода $T/2$.

$$F(t) = \frac{A(t_j + T/2) - A(t_j)}{T/2} t + A(t_j),$$

где $t \in [t_j; t_j + T/2]$.

После наложения каждой секущей, за результирующее значение сглаженного сигнала $A'(t)$ в каждый момент времени $t \in [t_j; t_j + T/2]$ берется наибольшее значение между функциями $A(t)$ и $F(t)$, рис. 9.

Далее выбирается новая рабочая частота ω и соответствующее ей значение параметра s и операция вычисления и наложения секущей повторяется для всего временного интервала. На рис. 10 приведен фрагмент работы алгоритма формирования огибающей для среза на частоте ω_0 НВП нестационарного сигнала для трех первых семейств секущих.

Амплитуда $A'(t)$ будет максимальна в те моменты, когда концы секущей совпадут с экстремумами функции $A(t)$. То есть при совпадении частоты следования всплесков функции $A(t)$ (а, следовательно, и колебаний сигнала) с рабочей частотой ω .

В результате работы алгоритма для всех частотных срезов и для каждого момента времени получим массив значений $Wf(\tau, s)$ той же размерности, что и массив значений $Wf(\tau, s)$.

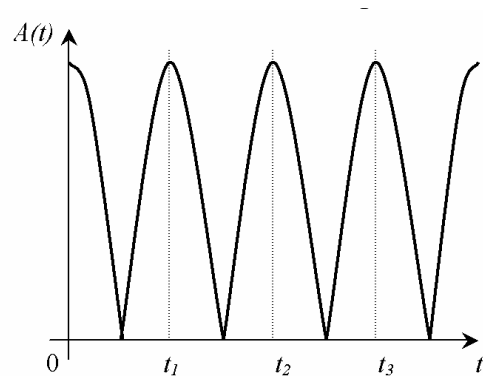
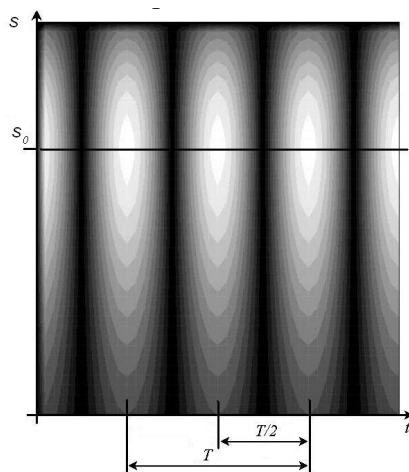


Рис. 8. Слева: карта проекций изолиний абсолютных значений НВП; справа: срез значений амплитуды по параметру s_0

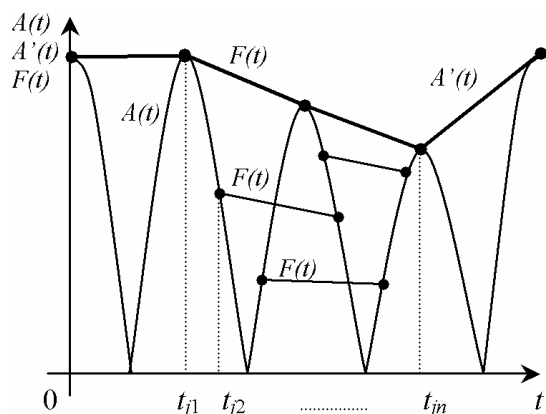


Рис. 9. Наложение секущих $F(t)$ на функцию $A(t)$ и формирование огибающей $A'(t)$

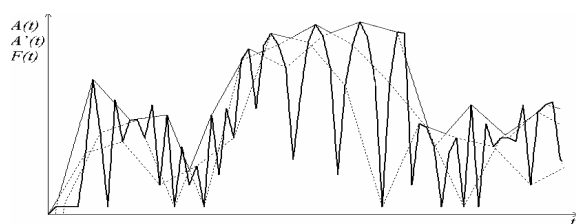


Рис. 10. Промежуточные результаты работы алгоритма для среза на частоте ω_0

Сформированный массив значений $Wf(\tau, s)$ представляет собой амплитудно-частотно-времен-

ную характеристику исходного сигнала $f(t)$, но, в отличие от результатов НВП $Wf(\tau, s)$ не содержит отрицательных значений и чередующихся последовательностей пиков (рис.11).

Срез массива значений $Wf(\tau, s)$ вдоль оси частот (в любой момент времени) представляет собой амплитудно-частотную характеристику сигнала в этот момент времени. Срез вдоль оси времени — есть амплитудно-временная характеристика определенной частотной составляющей сигнала (изменение амплитуды определенной гармоники на протяжении всего сигнала).

Такие двумерные срезы (как и сам массив $Wf(\tau, s)$) являются исходной информацией при автоматизированной обработке ИНС, для идентификации определенных свойств сигнала.

Работа представленного алгоритма была опробована при обработке ряда сигналов вида $f(t)=a_1\sin(\omega_1t)+a_2\sin(\omega_2t)$, а также фрагмента записи двухголосного музыкального произведения. Визуальный анализ графического представления результатов работы алгоритма показал действительное отсутствие в них указанных выше недостатков присущих результатам НВП и, следовательно, возможность дальнейшей автоматизированной обработки. В настоящее время разрабатываются алгоритмы решения задачи текущей классификации частотных составляющих сигнала с использованием ИНС типа *MaxNet*.



Рис. 11. Графическое представление результатов преобразований значений НВП сигнала вида $f(t)=a_1\sin(\omega_1t)+a_2\sin(\omega_2t)$

СПИСОК ЛИТЕРАТУРЫ

1. Чуи К. Введение в вейвлеты. — М.: Мир, 2001. — 412 с.
2. Астафьева Н.М. Вейвлет-анализ: основы теории и примеры применения // Успехи физических наук. — 1998. — Т. 166. — № 11. — С. 1145–1170.
3. Пирс Дж. Символы, сигналы, шумы. — М.: Мир, 1967. — 336 с.
4. Смоленцев Н.К. Основы теории вейвлетов. Вейвлеты в MatLab. — М.: ДМК Пресс, 2005. — 304 с.
5. Яковлев А.Н. Введение в вейвлет-преобразования. — Новосибирск: Изд-во НГТУ, 2003. — 104 с.
6. Фадеев А.С., Кочегурова Е.А. К вопросу о преобразовании музыкальных форматов // Современные проблемы информатизации в моделировании и программировании: Сб. трудов XII Междунар. открытой научной конф. — Воронеж: Научная книга, 2006. — С. 255–257.
7. Кочегурова Е.А., Фадеев А.С. Вейвлет анализ в задаче идентификации музыкальной информации // Молодежь и современные информационные технологии: Сб. трудов IV Всеросс. научно-практ. конф. студентов, аспирантов и молодых ученых. — Томск: Изд-во ТПУ, 2006. — С. 149–151.